# **МАШИНОСТРОЕНИЕ**

УДК 621.785.532:539.234

# СТРУКТУРА И СВОЙСТВА ПОКРЫТИЙ АПУ-N, ПОЛУЧЕННЫХ КАТОДНО-ДУГОВЫМ ОСАЖДЕНИЕМ ПРИ ИОННОМ АССИСТИРОВАНИИ

И. П. Акула<sup>1</sup>, М. Ю. Хома<sup>2</sup>

<sup>1</sup> К. т. н., ведущий научный сотрудник лаборатории наноматериалов и ионно-плазменных процессов ГНУ «Физико-технический институт НАН Беларуси», Минск, Беларусь, e-mail: i.akula@phti.by

<sup>2</sup> Научный сотрудник лаборатории наноматериалов и ионно-плазменных процессов ГНУ «Физико-технический институт НАН Беларуси», Минск, Беларусь, e-mail: mihmauzer@phti.by

#### Реферат

Особенность азота — легко встраиваться в структуру алмаза, замещая атомы углерода, что делает его наиболее подходящим элементом для модификации механических, трибологических и электрических свойств алмазоподобных углеродных пленок и покрытий. В настоящей работе исследовано влияние состояния азота на фазовый состав, структуру и свойства покрытий алмазоподобного углерода, полученных методом катодно-дугового осаждения. Азот в процессе осаждения покрытий алмазоподобного углерода подавался в вакуумную камеру как в молекулярном виде, так и ионизированном виде из ионно-лучевого источника. Установлено, что наблюдается существенный рост содержания азота в покрытии алмазоподобного углерода в случае его допирования азотом в ионизированном состоянии. Наличие азота в структуре алмазоподобного углерода приводит к образованию химических связей С-N в конфигурации как с sp², так и с sp³, связанными с атомами углерода. Рост энергии ионов азота стимулирует увеличение содержания sp² гибридизированных атомов углерода в сформированных покрытиях со структурой ароматических колец. Установлено, что в полученных аморфных покрытиях АПУ-N присутствуют трех- и четырехкоординированных атомов углерода, а количество четырехкоординированных атомов углерода и степень беспорядка в трехкоординированных атомах углерода зависят от условий осаждения покрытий. Полученные покрытия обладают высокой твердостью до 4500 кгс/мм², что позволяет отнести их к классу сверхтвердых материалов. Присутствие азота в составе покрытия позволяет изменять его удельное электрическое сопротивление в широких пределах, а также трибологические характеристики в условиях сухого трения. Полученный тонкопленочный материал является перспективным для получения структур с требуемой электропроводимостью, в том числе для изготовления детекторов ионизирующих излучений.

**Ключевые слова:** алмазоподобный углерод, катодно-дуговое осаждение, ионное ассистирование, структура покрытия, фазовый состав, твердость, электрическое сопротивление.

# STRUCTURE AND PROPERTIES OF DLC-N COATINGS OBTAINED BY CATHODIC ARC DEPOSITION WITH ION ASSISTANCE

# I. P. Akula, M. Y. Khoma

## **Abstract**

The ability of nitrogen to easily integrate into the diamond structure, replacing carbon atoms, makes it the most suitable element for modifying the mechanical, tribological and electrical properties of diamond-like carbon films and coatings. In this paper, we study the effect of the nitrogen state on the phase composition, structure and properties of diamond-like carbon coatings obtained by cathodic arc deposition. During the deposition of diamond-like carbon coatings, nitrogen was supplied to the vacuum chamber both in molecular form and in ionized form from an ion-beam source. It was found that a significant increase in the nitrogen content in the diamond-like carbon coating is observed in the case of its doping with nitrogen in the ionized state. The presence of nitrogen in the structure of diamond-like carbon leads to the formation of C-N chemical bonds in the configuration with both sp² and sp³ bonded to carbon atoms. An increase in the energy of nitrogen ions stimulates an increase in the content of sp² hybridized carbon atoms in the formed coatings with the structure of aromatic rings. It was found that the obtained amorphous coatings DLC-N contain three- and four-coordinated carbon atoms, and the number of four-coordinated carbon atoms and the degree of disorder in three-coordinated carbon atoms depend on the conditions of coating deposition. The obtained coatings have a high hardness of up to 4500 kgf/mm², which allows them to be classified as superhard materials. The presence of nitrogen in the coating allows changing its specific electrical resistance over a wide range, as well as tribological characteristics under dry friction conditions. The obtained thin-film material is promising for obtaining structures with the required electrical conductivity, including for the manufacture of ionizing radiation detectors.

Keywords: diamond-like carbon, cathodic arc deposition, ion-assisted deposition, coating structure, phase composition, hardness, electrical resistance.

## Введение

Азот является уникальным химическим элементом в отношении алмаза, поскольку в отличие от других элементов он наиболее легко встраивается в структуру алмаза, замещая атомы углерода. Азот является основной примесью, по содержанию которой можно судить о свойствах алмаза. Такая особенность делает азот наиболее подходящим элементом для модификации физико-механических свойств покрытий алмазоподобного углерода (АПУ) [1].

Азотсодержащие покрытия алмазоподобного углерода (АПУ-N) обладают рядом ценных качеств и представляют несомненный практический интерес [2–4]. Это обусловлено особенностями взаимодействия азота с углеродом с образованием различных

нитридных фаз и, главным образом, его способностью замещать углерод, образующий четвертные валентные  $\sigma$ -связи в структуре алмаза и алмазоподобных материалов, эффективно насыщать оборванные  $\mathrm{sp^3}$  связи на межфазных границах АПУ покрытия. При определенных условиях формирования и достаточно большом содержании азота в углеродном покрытии возможно образование предсказанной  $\beta$  фазы нитрида углерода  $\mathrm{C_3N_4}$ , расчетная твердость которой превосходит твердость алмаза [5].

При синтезе различных составов АПУ-N используются те же самые методы, как и для осаждения покрытий АПУ [6, 7]. Наиболее широко представлены химические (CVD) методы осаждения, в которых реакционный углеводородсодержащий газ содержит

азот как в молекулярном виде, так и в виде соединений (аммиак и другие) [8]. В настоящее время выполнено большое количество работ по получению покрытий АПУ-N посредством микроволновой или радиочастотной плазмы. Было показано, что гидрогенизированные аморфные покрытия АПУ-N,  $\alpha$ -C(N):H, полученные методом радиочастотного плазмостимулированного химического осаждения из газовой фазы (PECVD) в смеси азота и метана, могут быть столь же твердыми, как алмазные покрытия [9]. Радиочастотное осаждение продемонстрировало, что добавление небольшого количества азота приводит к значительному снижению уровня остаточных напряжений при небольшом уменьшении твердости покрытия [9].

По физическим методам осаждения (PVD), используемых для получения покрытий АПУ-N, накоплено меньше информации, чем по химическим методам. Имеются лишь единичные работы, посвященные осаждению азотсодержащих АПУ покрытий с использованием графитовых мишеней [10]. Энергия столкновений ионов углерода с подложкой в физических методах осаждения обычно составляет около 20 эВ, но она может быть увеличена подачей напряжения смещения на подложку [11]. При увеличении энергии ионов азота до 100—200 эВ отношение N/C увеличивается с 0,25 до 0,4; при более высоких энергиях изменение N/C отношения не существенно [12]. Кроме того, состав покрытия АПУ-N сильно зависит от скорости осаждения ионов углерода и азота на подложку. Значения N/C больше чем 0,4 были получены в случае, когда количество ионов азота, внедряемых в растущее покрытие, значительно превышало число ионов углерода [13].

Достижение высокого значения N/C в покрытии АПУ-N является только одним из необходимых условий для получения форм АПУ-N высокой плотности. Однако если атомы углерода не образуют sp<sup>3</sup> связей между собой, то материал вряд ли будет обладать необхо-

димыми свойствами, характерными для алмазоподобных материалов. Во всех случаях, когда концентрация азота в покрытии становится больше 10 %, спектры РФЭС показывают сильное уменьшение числа  $\mathrm{sp}^3$  связей с одновременным ростом пиков, идентифицируемых с C=N и C=N [14]. Так же уменьшаются величины таких принципиально важных с технической точки зрения параметров, как твердость (с 56 до 10 ГПа), плотность (с 2,8 до 2,0 гр/см-³), ширина запрещенной зоны (с 0,75 эВ до 0,2 эВ), показатель преломления (с 2,5 до 1,6). Однако неоспоримым преимуществом таких покрытий является существенное снижение остаточных напряжений с 4,0 до 1,7 ГПа [15]. В связи с этим представляется перспективным исследование структуры и свойств покрытий АПУ-N с высоким содержанием азота.

### Методики получения и исследования покрытий

В настоящей работе покрытия АПУ-N были получены методом импульсного катодно-дугового осаждения. Часть образцов подвергалась одновременному ассистированию ростовой поверхности ионами азота с помощью ионно-лучевого источника (ИЛИ) "Радикал". В качестве подложек использовались полированные пластины из стали 40Х, ситалла и кремния. После размещения образцов в вакуумной камере установки УВНИПА-1-001 выполнялась откачка до остаточного давления около 10-3 Па. Перед формированием покрытия образцы обрабатывались пучком высокоэнергетических ионов аргона с помощью ИЛИ при следующих параметрах: давление аргона 7,5×10-3 Па, ускоряющее напряжение 3500 В при токе 0,05 А, время обработки 30 минут. Выполнено четыре эксперимента по осаждению покрытий АПУ и АПУ-N, условия которых указаны в таблице 1.

Таблица 1 – Условия получения покрытий АПУ и АПУ-N

№ эксп.	Тип покрытия	Источник углеродной плазмы				или			d man
		<i>Ui</i> , B	Ud, B	<i>f</i> , Гц	t, мин	<i>P</i> ( <i>N</i> <sub>2</sub> ), мПа	Ua, B	la, A	d, мкм
1	ta-C	300	300	2	60	_	_	-	0,15
2	ta-CN				60	11-13	_	_	0,27
3	ta-CN				55	11-13	500	0,05	0,29
4	ta-CN				60	10-11	1000	0,05	0,28

Примечание – Ui – напряжение поджига; Ud – напряжение разряда; f – частота импульсов; t – время осаждения покрытия; Ua – ускоряющее напряжение; la – ускоряющий ток.

Элементный анализ полученных покрытий и определение типов углеродных структур были выполнены с помощью метода РФЭС. Рентгеновские фотоэлектронные спектры были записаны для свежеосажденных покрытий на спектрометре ЭС-2401 с использованием отфильтрованного MgKlpha излучения (1253,6 эВ). Разрешающая способность прибора составляла 1,4 эВ, точность определения положения линий 0,1 эВ. Для очистки и травления внутри камеры образцов использовался пучок ионов Ar с энергией 1 кэВ и плотностью ионного тока 2,3 мкА/см<sup>2</sup>. Фазовый состав осажденных покрытий исследовался с использованием методик спектроскопии комбинационного рассеяния света на спектрометре Confotec NR-500 (SOL Instruments, Республика Беларусь) на длине волны аналитического излучения 532 нм при мощности 30 мВт. Съем спектра проводился десять раз в течение 5 секунд, после чего получался итоговый усредненный спектр. Твердость покрытий оценивалась с использованием метода восстановленного отпечатка на микротвердомере ПМТ-3. В качестве индентора применялась алмазная пирамида Кнупа при нормальной нагрузке 20 г и времени выдержки 10 с. Было выполнено по 4 измерения длины вытянутой диагонали отпечатка для каждого образца. Удельное электрическое сопротивление покрытий  $(\Omega)$ , осажденных на полированные ситалловые пластины, измерялось с помощью прибора UNI-T 533. Трибологические исследования проводились на стенде, работающем по схеме "палец-диск". В качестве контртела использовался шарик с полированной поверхностью из стали ШХ15 с диаметром 5,5 мм. Исследования проводились при нормальной нагрузке на контртело 1 Н и радиусе вращения контртела 10 мм.

## Обсуждение результатов

Отношение содержания азота к углероду N/C для осажденных покрытий АПУ-N определялось по отношению интенсивности линий N1s и C1s из данных РФЭС. В покрытиях АПУ-N, осажденных без ионного ассистирования, углерод взаимодействует только с молекулами азота в окружающем газе, что приводит к незначительному внедрению атомов азота в растущее покрытие. При этом содержание азота в покрытии составляет 11.0 ат.%. В случае ионизации азота при ускоряющем напряжении ИЛИ 500 В во время осаждения покрытия АПУ-N ионы углерода взаимодействуют с активными ионами азота. Это обеспечивает более активное внедрение азота в формируемое покрытие с образованием химической связи между углеродом и азотом, а также приводит к увеличению концентрации химически активных ионов азота до 40,4 ат.%, что в свою очередь ведет к более глубокому внедрению атомов азота в покрытие. Однако рост ускоряющего напряжения источника ионов до 1000 В приводит к распылению осаждаемого тонкопленочного материала, что сказывается на снижении содержания азота в покрытии до 37,9 ат.%.

В таблице 2 представлены результаты обработки спектров РФЭС – позиция линии и % каждого пика для C1s и N1s спектров покрытий АПУ-N, полученных при различном ускоряющем напряжении источника ионов. Если азот при осаждении покрытия АПУ-N используется в молекулярном состоянии, то содержание sp гибридизированных атомов углерода (38,3 %) превышает количество sp³ (23,7 %) и sp² (23,7 %) гибридизированных атомов углерода. Большинство атомов азота (66,5 %) в таком случае связаны с sp²

атомами углерода  $C\equiv N$  связями. При осаждении покрытия АПУ-N с ассистированием ионами азота при ускоряющем напряжении 500 В содержание атомов углерода в  $sp^2$  конфигурации возрастает до 46 %, в то время как содержание  $sp^3$  и  $sp^1$  гибридизированных атомов углерода уменьшается до 12,4 % и 28,5 % соответственно. В то же время содержание атомов азота, связанных с  $sp^2$  углеродом, уменьшается до 63,5 %. Количество атомов азота, связанных с  $sp^3$ 

и sp углеродом, возрастает до  $24,1\,\%$  и  $7,6\,\%$  соответственно. Дальнейший рост ускоряющего напряжения источника ионов до  $1000\,\mathrm{B}$  приводит к увеличению числа  $\mathrm{sp^2}$  атомов углерода и атомов азота, связанных с  $\mathrm{sp}$  углеродом, и уменьшению количества  $\mathrm{sp}$  атомов углерода и атомов азота, связанных с  $\mathrm{sp^2}$  углеродом. Содержание  $\mathrm{sp^3}$  атомов углерода и атомов азота, связанных с  $\mathrm{sp^3}$  атомами углерода, изменяется не существенно.

Таблица 2 – Результаты разложения C1s и N1s спектров для покрытия АПУ-N

Пик	Тип связи	Номер образца (таблица 1)							
		2	)	3		4			
		Есв, эВ	%	Есв, эВ	%	Есв, эВ	%		
C1s (1)	C-C	284,6	4,1	284,9	7,1	284,6	7,9		
C1s (2)	C=N	285,4	28,7	285,3	46,0	285,4	50,0		
C1s (3)	C-N	286,3	38,3	286,4	28,5	286,5	17,7		
C1s (4)	C≡N	287,1	23,7	287,6	12,4	287,4	13,6		
C1s (5)	C-O	288,7	5,2	289,0	6,0	288,6	10,8		
N1s (1)	C-N	398,3	18,0	398,1	24,1	398,2	24,4		
N1s (2)	C≡N	399,0	4,5	399,2	7,6	399,2	12,7		
N1s (3)	C=N	400,0	66,5	400,6	63,5	400,7	47,5		
N1s (4)	N-N N-O	401,6	11,0	403,3	4,8	402,9	15,4		

Результаты исследования структуры покрытий АПУ и АПУ-N с использованием спектроскопии комбинационного рассеяния света представлены на рисунке 1. В области (1200-1700) см-1 можно наблюдать наличие широкого пика, что говорит об аморфной структуре полученного тонкопленочного материала [1]. Можно видеть, что добавка молекулярного азота в объем вакуумной камеры приводит к незначительному нарушению формы спектра в области низких частот. В то же время присутствие азота в ионизированном состоянии существенно преобразует форму спектра из-за явного появления сигнала в области частот 1350 см<sup>-1</sup>. Такое поведение связано с ростом D пика. ассоциируемого с атомами углерода с конфигурацией ароматических колец, находящихся в sp<sup>2</sup> гибридизированном состоянии. Для более точного описания фазового состояния углерода было выполнено разложение основного пика спектра КРС на составляющие D и G пики. Обработка была выполнена с помощью функции Гаусса-Лоренца в пакете MathLab. Результаты представлены в таблице 3.

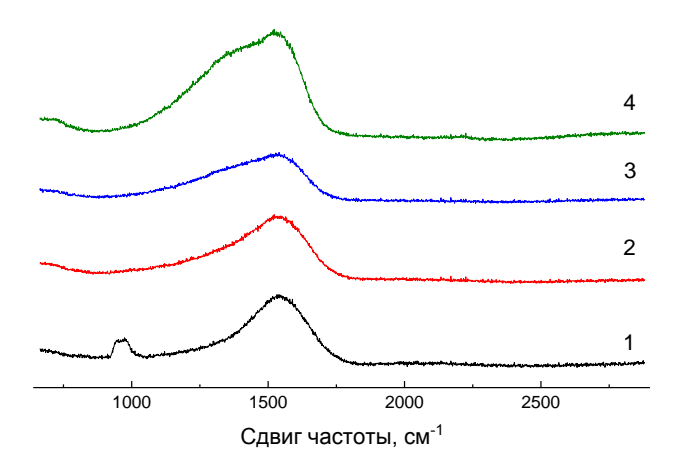


Рисунок 1 – Спектры КРС для покрытий АПУ (номер спектра соответствует номеру образца из таблицы 1)

Таблица 3 – Результаты разложения спектра КРС

№ эксп.	I <sub>D</sub> /I <sub>G</sub>	<i>D</i> пик			<b>G</b> пик			
		<i>К</i> , см⁻¹	<i>I</i> , отн.ед.	<i>W</i> , cм⁻¹	<i>К</i> , см⁻¹	<i>I</i> , отн.ед.	<i>W</i> , cм⁻¹	
1	0,30	1383,2	447,9	313,4	1554,5	1512,1	214,8	
2	0,65	1383,3	766,4	383,4	1555,5	1186,7	204,1	
3	1,30	1389,2	905,2	379,8	1557,8	701,0	169,2	
4	1,49	1380,0	2258,1	373,0	1554,8	1506,7	156,7	

Примечание – K – положение максимума пика; I – интенсивность пика; W – ширина пика на полувысоте.

Исследования показали, что при добавлении азота в поток углеродной плазмы и по мере роста энергии ионов азота наблюдается рост и уширение пика D с одновременным снижением интенсивности и ширины пика G. Подобный результат наблюдался в [16], где энергию ионов азота регулировали подачей напряжения смещения на основу. Согласно [17] подобное изменение пиков D и G говорит либо о наличии четырехкратно координированных атомов углерода, либо о беспорядке углов связи для атомов углерода с тройной связью. Таким образом, можно сделать вывод, что в полученных аморфных пленках АПУ-N присутствуют трехи четырехкоординированные атомы углерода, а количество четырехкоординированных атомов углерода и степень беспорядка в трехкоординированных атомах углерода зависят от условий

осаждения покрытий. Из данных, представленных в таблице 3, наиболее важным является параметр  $I_D/I_G$ , который характеризует степень разупорядоченности сформированной структуры тонкопленочного материала.

Можно видеть, что как добавка азота в молекулярном состоянии, так и его ионизация приводят к росту разупорядоченности структуры покрытия алмазоподобного углерода. Считается [18], что бомбардировка частицами с высокими энергиями увеличивает подвижность атомов на растущей поверхности при высоких температурах осаждения и этим вызывает структурный беспорядок. Затем кластер С–N, аналогичный неупорядоченной турбостратной фазе (хаотично повернутое расположение гексагональных слоев), может развиться в аморфной матрице [19].

На рисунке 2 представлены результаты исследования твердости покрытий. Покрытия АПУ показали твердость около 4100 кгс/мм². С учетом малой толщины покрытий и достаточно высокой нагрузки на индентор, при которой на результаты оказывает влияние основа, данное покрытие можно классифицировать как сверхтвердое. Добавка молекулярного азота привела к снижению твердости покрытий до порядка 3000 кгс/мм², что вероятно связано с потерей энергии ионов углерода на упругих столкновениях с молекулами газа. В то же время азот в ионизированном состоянии при ускоряющем напряжении 500 В вероятно приводит как к образованию С-N связей в растущем покрытии, так и способствует формированию С-С связей в sp³ конфигурации, что привело к получению покрытия АПУ-N с твердостью порядка 4500 кгс/мм². Дальнейший рост ускоряющего напряжения, прямо связанного с энергией ионов азота, привел к падению твердости до порядка 2100 кгс/мм².

Вероятно, большие энергии ионов в потоке плазмы стимулируют преимущественное образование C-C связей в  $\rm sp^2$  конфигурации, поскольку имеется диапазон энергий (40–70)  $\rm sB$ , в котором содержание связей алмазного типа в покрытиях АПУ является максимальным для типа ta-C [20].

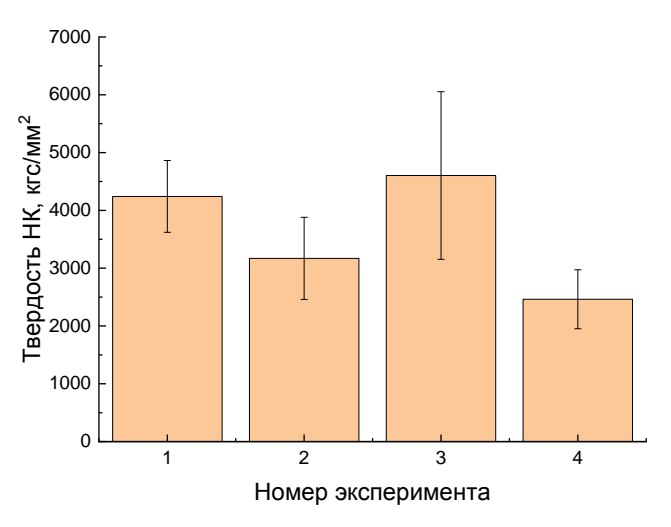


Рисунок 2 – Твердость покрытий АПУ и АПУ-N

Результаты определения удельного электрического сопротивления покрытий АПУ-N представлены на рисунке 3. Добавка азота оказывает существенное влияние на удельное электрическое сопротивление покрытий  $(\Omega/\text{kb.})$ .

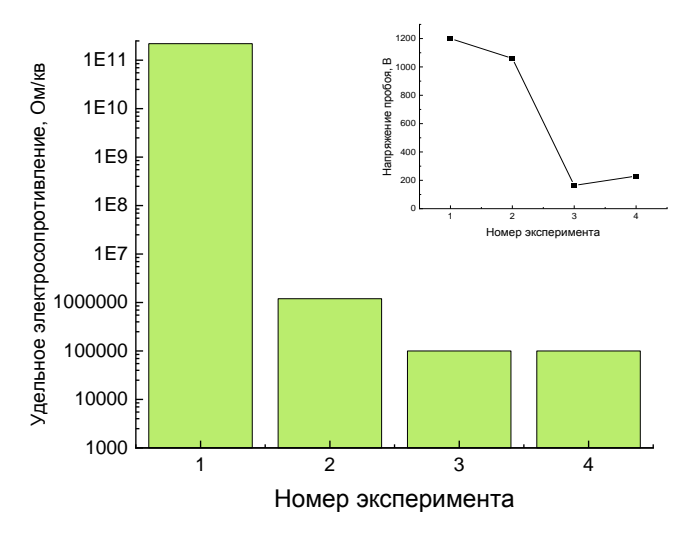


Рисунок 3 – Удельное электрическое сопротивление и напряжение пробоя (вставка) покрытий АПУ и АПУ-N

Азот, попадающий в плазму в молекулярном/атомарном состоянии, приводит к снижению параметра  $\Omega$ /кв более чем на 5 порядков. Ионизация газа способствует дальнейшему снижению  $\Omega$ /кв с  $10^6$  Ом/кв для атомарного газа до порядка  $(1-2)\times10^5$  Ом/кв для покрытий АПУ-N, полученных с использованием ассистирования ионами азота. Причем параметр  $\Omega$ /кв слабо зависит от энергии ионов азота в нашем случае. В то же время стоит обратить внимание на напряжение пробоя, которое для покрытия АПУ-N, полученного при ускоряющем напряжении 1000 В источника ионов "Радикал", составляет 230 В и превышает значение этого параметра для покрытия АПУ-N, полученного при напряжении 500 В и равного 164 В.

Результаты трибологических испытаний представлены на рисунке 4. Испытания показали, что наличие молекулярного азота в реакционной области приводит к существенному повышению коэффициента трения до 0,30 с 0,26 для не содержащего азот покрытия АПУ.

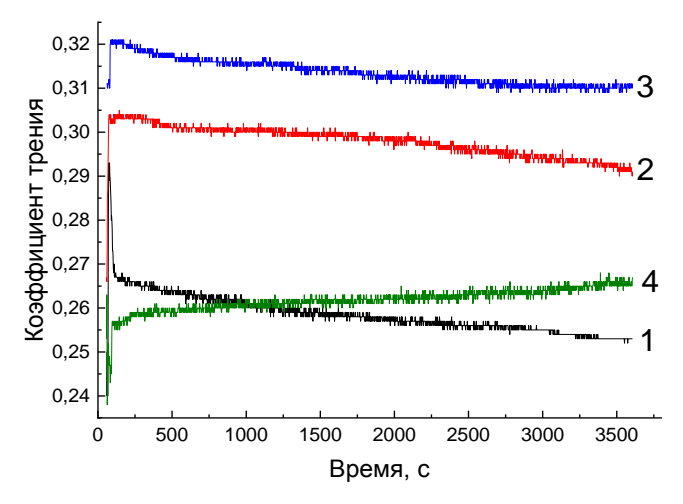


Рисунок 4 – Коэффициент трения покрытий АПУ-N (номер на графике соответствует номеру эксперимента из таблицы 1)

В случае ионизированного азота (ускоряющее напряжение 500 В) происходит дальнейший рост коэффициента трения до 0,315. Однако при более высоких энергиях ионного источника (1000 В) коэффициент трения покрытия АПУ-N+ снижается до 0,26. Вероятно, такой характер трения связан с процессами, проходящими в области контакта покрытия с контртелом.

На рисунке 5 представлены изображения области износа контртела и дорожки трения на поверхности покрытия, образованные в результате испытаний.

Во-первых, изображения дорожек трения показывают, что не наблюдается какого-либо заметного износа покрытия для всех условий эксперимента. В дорожке нет следов отслаивания покрытия. что говорит о его хорошей адгезии к основе. Во-вторых. не наблюдается интерференционного окрашивания в границах дорожек, что подтверждает минимальное присутствие процессов абразивного изнашивания покрытия. В то же время на периферии области износа контртела присутствуют следы продуктов износа, которые, скорее всего, представляют собой мелкодисперсную фракцию материала самого контртела. Это говорит о существенно более высокой твердости покрытия по сравнению с контртелом. Причем, чем выше значение устоявшегося коэффициента трения покрытия, тем больше вынесенного материала присутствует на периферии пятна износа. Вероятно, данный материал может образовывать отдельный слой в зоне контакта покрытия с контртелом, наличие которого и определяет величину коэффициента трения трибопары. Область контакта, определяемая по диаметру пятна износа контртела, коррелирует с коэффициентом трения и составляет 3,14×10-2 мм<sup>2</sup> для минимальных значений коэффициента трения 0,26 (образцы 1 и 4) и 5,39×10-2 мм<sup>2</sup>.

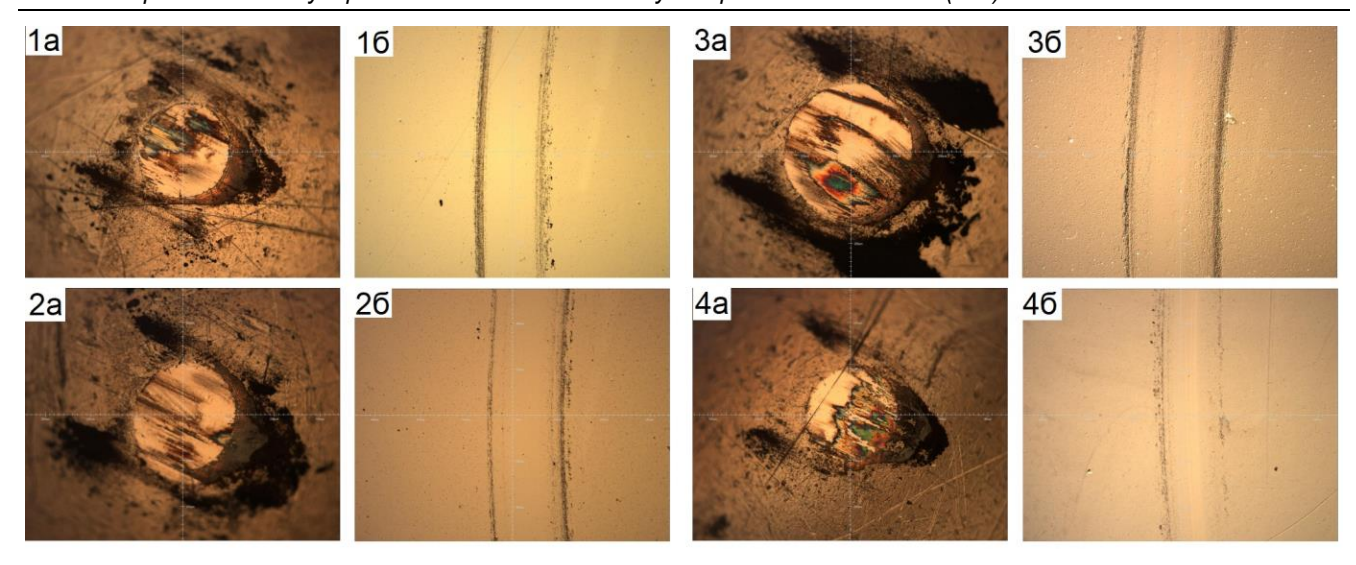


Рисунок 5 – Изображение области износа контртела (a) и дорожки трения (б) для образцов покрытия (1–4, номер измерения соответствует номеру эксперимента из таблицы 1)

### Заключение

Проведенные исследования показали, что способ введения азота в состав покрытий АПУ-N оказывает существенное влияние на формирование их структуры. Азот встраивается в структуру алмазоподобного углерода в виде примеси замещения, образуя sp<sup>2</sup> и  $sp^3$  связи с атомами углерода типа C - N и C = N - C соответственно. Следствием азотирования является повышение количества sp<sup>2</sup> связанных атомов углерода в покрытии, что подтверждается данными как РФЭС, так и спектроскопии КРС. При этом высокая энергия ионов азота способствует графитизации покрытия в результате тепловыделения и значительного нагрева соударительной области в растущем покрытии. Показано, что можно управлять удельным электросопротивлением тонкопленочных алмазоподобных материалов в широких пределах (105 – 1012 Ом/кв) при изменении условий внедрения азота в формируемое покрытие. Получен тонкопленочный материал, твердость которого достигает 4500 кгс/мм<sup>2</sup>, что позволяет отнести его к классу сверхтвердых материалов. Трибологические испытания показали, что не наблюдается какого-либо заметного износа покрытия для всех условий эксперимента. В дорожке трения отсутствуют следы отслаивания покрытия, что говорит о его хорошей адгезии к основе.

Полученные результаты являются важными для изготовления детекторов ионизирующих излучений, используемых в частности при создании сверхпроводящего коллайдера протонов и тяжёлых ионов NICA (Дубна, Россия).

## Список цитированных источников

- Nitrogen-doped CVD diamond: Nitrogen concentration, color and internal stress / A. M. Zaitsev, N. M. Kazuchits, V. N. Kazuchits [et al.] // Diamond and Related Materials. – 2020. – Vol. 105. – Paper 107794.
- Effects of nitrogen incorporation on N-doped DLC thin film electrodes fabricated by dielectric barrier discharge plasma: Structural evolution and electrochemical performances / M. Nilkar, F. E. Ghodsi, S. Jafari [et al.] // Journal of Alloys and Compounds. – 2021. – Vol. 853. – Paper 157298.
- Nitrogen-doped diamond-like carbon as optically transparent electrode for infrared attenuated total reflection spectroelectrochemistry / N. Menegazzo, M. Kahn, R. Berghauser [et al.] // Analyst. – 2011. – Vol. 136. – P. 1831–1839.
- Nitrogen doping for adhesion improvement of DLC film deposited on Si substrate by Filtered Cathodic Vacuum Arc (FCVA) technique / D. Bootkul, B. Supsermpol, N. Saenphinit [et al.] // Applied Surface Science. – 2014. – Vol. 310. – P. 284–292.
- Liu, A. Y. Prediction of new low compressibility solids / A. Y. Liu, M. L. Cohen // Science. – 1989. – Vol. 245. – P. 841–845.

- Корсунский, Б. Л. На пути к нитриду углерода / Б. Л. Корсунский, В. И. Пепекин // Успехи химии. – 1997. – № 11. – С. 1003–1014.
- Muhl, S. A review of the preparation of carbon nitride films / S. Muhl, J. M. Me'ndez // Diamond and Related Materials. – 1999. – Vol. 8. – P. 1809–1830.
- Zhang, Y. Crystalline carbon nitride films formation by chemical vapor deposition / Y. Zhang, Z. Zhou, H. Li // Applied Physics Letters. – 1996. – Vol. 68. –P. 634–636.
- Freire, F. L. Amorphous hydrogenated carbon-nitrogen films deposited by plasma-enhanced chemical vapor deposition / F. L. Freire // Japan Journal of Applied Physics. – 1997. – Vol. 36, N 7B. – P. 4886–4892.
- Structural investigation of two carbon nitride solids produced by cathodic arc deposition and nitrogen implantation / A. R. Merchant, D. G. McCulloch, D. R. McKenzie [et al.] // Journal of Applied Physics. – 1996 – Vol. 79. – P. 6914–6919.
- Amorphous carbon and carbon nitride films prepared by filtered arc deposition and ion assisted arc deposition / J. P. Zhao, X. Wang, Z. Y. Chen [et al.] // Materials Letters. – 1997. – Vol. 33. – P. 41–45.
- Preparation of CNx films by ion beam assisted filtered cathodic arc deposition / C. Spaeth, M. Kühn, U. Kreissig, F. Richter // Diamond and Related Materials. – 1997. – Vol. 6. – P. 626–630.
- Hartmann, J. Characterization of carbon nitride produced by highcurrent vacuum arc deposition / J. Hartmann, P. Siemroth, J. Schultrich // Journal of Vacuum Science Technology A. – 1997. – Vol. 15. – P. 2983–2987.
- 14. X-ray diffraction studies of the effects of N incorporation in amorphous CNx materials / J. K. Walters, M. Kuhn, C. Spaeth [et al.] // Journal of Applied Physics. – 1998. – Vol. 83. – P. 3529–3534.
- Optical emission spectroscopy of the nitrogen arc in an archeated beam source used for synthesis of carbon nitride films / N. Xu, Y. Du, Z. Ying [et al.] // Journal of Physics D: Applied Physics. 1997. Vol. 30. P. 1370–1376.
- Optical and mechanical properties of amorphous CN films / S. Lee,
  S. Jin Park, Soo-ghee Oh [et al.] // Thin Solid Films. 1997. –
  Vol. 308–309. P. 135–140.
- Modeling studies of amorphous carbon / D. Beeman, J. Silverman, R. Lynds, M. R. Anderson // Physics Review B. – 1984. – Vol. 30, Iss. 2. – P. 870–875.
- Dillon, R. O. Use of Raman Scattering to Investigate Disorder and Crystallite Formation in As-Deposited and Annealed Carbon Films / R. O. Dillon, J. A. Woolam, V. Katkanant // Physical Review B. – 1984. – Vol. 29. – P. 3482–3489.

- Preparation of carbon nitride thin films by ion beam assisted deposition and their mechanical properties / M. Kohzaki, A. Matsumuro, T. Hayashi [et al.] // Thin Solid Films. – 1997. – Vol. 308–309. – P. 239–244.
- Preparation and properties of high density, hydrogen free hard carbon films with direct ion beam or arc discharge deposition / J. P. Hirvonen, J. Koskinen, R. Lappalainen, A. Anttila // Materials Science Forum. – 1990. – Vol. 52. – P. 197–216.

### References

- Nitrogen-doped CVD diamond: Nitrogen concentration, color and internal stress / A. M. Zaitsev, N. M. Kazuchits, V. N. Kazuchits [et al.] // Diamond and Related Materials. – 2020. – Vol. 105. – Paper 107794.
- Effects of nitrogen incorporation on N-doped DLC thin film electrodes fabricated by dielectric barrier discharge plasma: Structural evolution and electrochemical performances / M. Nilkar, F. E. Ghodsi, S. Jafari [et al.] // Journal of Alloys and Compounds. – 2021. – Vol. 853. – Paper 157298.
- Nitrogen-doped diamond-like carbon as optically transparent electrode for infrared attenuated total reflection spectroelectrochemistry / N. Menegazzo, M. Kahn, R. Berghauser [et al.] // Analyst. – 2011. – Vol. 136. – P. 1831–1839.
- Nitrogen doping for adhesion improvement of DLC film deposited on Si substrate by Filtered Cathodic Vacuum Arc (FCVA) technique / D. Bootkul, B. Supsermpol, N. Saenphinit [et al.] // Applied Surface Science. – 2014. – Vol. 310. – P. 284–292.
- Liu, A. Y. Prediction of new low compressibility solids / A. Y. Liu, M. L. Cohen // Science. – 1989. – Vol. 245. – P. 841–845.
- Korsunskij, B. L. Na puti k nitridu ugleroda / B. L. Korsunskij, V. I. Pepekin // Uspekhi himii. – 1997. – № 11. – S. 1003–1014.
- Muhl, S. A review of the preparation of carbon nitride films / S. Muhl, J. M. Me'ndez // Diamond and Related Materials. – 1999. – Vol. 8. – P. 1809–1830.
- Zhang, Y. Crystalline carbon nitride films formation by chemical vapor deposition / Y. Zhang, Z. Zhou, H. Li // Applied Physics Letters. – 1996. – Vol. 68. –P. 634–636.
- Freire, F. L. Amorphous hydrogenated carbon-nitrogen films deposited by plasma-enhanced chemical vapor deposition / F. L. Freire // Japan Journal of Applied Physics. – 1997. – Vol. 36, N 7B. – P. 4886–4892.
- Structural investigation of two carbon nitride solids produced by cathodic arc deposition and nitrogen implantation / A. R. Merchant, D. G. McCulloch, D. R. McKenzie [et al.] // Journal of Applied Physics. – 1996 – Vol. 79. – P. 6914–6919.

- Amorphous carbon and carbon nitride films prepared by filtered arc deposition and ion assisted arc deposition / J. P. Zhao, X. Wang, Z. Y. Chen [et al.] // Materials Letters. – 1997. – Vol. 33. – P. 41–45.
- Preparation of CNx films by ion beam assisted filtered cathodic arc deposition / C. Spaeth, M. Kühn, U. Kreissig, F. Richter // Diamond and Related Materials. – 1997. – Vol. 6. – P. 626–630.
- Hartmann, J. Characterization of carbon nitride produced by highcurrent vacuum arc deposition / J. Hartmann, P. Siemroth, J. Schultrich // Journal of Vacuum Science Technology A. – 1997. – Vol. 15. – P. 2983–2987.
- X-ray diffraction studies of the effects of N incorporation in amorphous CNx materials / J. K. Walters, M. Kuhn, C. Spaeth [et al.] // Journal of Applied Physics. – 1998. – Vol. 83. – P. 3529–3534.
- Optical emission spectroscopy of the nitrogen arc in an arc-heated beam source used for synthesis of carbon nitride films / N. Xu, Y. Du, Z. Ying [et al.] // Journal of Physics D: Applied Physics. – 1997. – Vol. 30. – P. 1370–1376.
- Optical and mechanical properties of amorphous CN films / S. Lee,
  Jin Park, Soo-ghee Oh [et al.] // Thin Solid Films. 1997. –
  Vol. 308–309. P. 135–140.
- Modeling studies of amorphous carbon / D. Beeman, J. Silverman, R. Lynds, M. R. Anderson // Physics Review B. – 1984. – Vol. 30, Iss. 2. – P. 870–875.
- Dillon, R. O. Use of Raman Scattering to Investigate Disorder and Crystallite Formation in As-Deposited and Annealed Carbon Films / R. O. Dillon, J. A. Woolam, V. Katkanant // Physical Review B. – 1984. – Vol. 29. – P. 3482–3489.
- Preparation of carbon nitride thin films by ion beam assisted deposition and their mechanical properties / M. Kohzaki, A. Matsumuro, T. Hayashi [et al.] // Thin Solid Films. – 1997. – Vol. 308–309. – P. 239–244.
- Preparation and properties of high density, hydrogen free hard carbon films with direct ion beam or arc discharge deposition / J. P. Hirvonen, J. Koskinen, R. Lappalainen, A. Anttila // Materials Science Forum. – 1990. – Vol. 52. – P. 197–216.

Материал поступил 07.07.2025, одобрен 15.07.2025, принят к публикации 16.07.2025